

# محله علمی-پژوهشی «رادار»

سال دوم، شماره ۲، تابستان ۱۳۹۳؛ ص ۴۸-۳۹

## مدل‌سازی مسیر حرکتی ماهواره‌های LEO و ردگیری آن‌ها با

### فیلتر کالمون توسعه‌یافته (EKF) و فیلتر کالمون نمونه‌بردار (UKF)

جواد سالم<sup>۱\*</sup>، محمد ضیغمی<sup>۲</sup>، سید محمد علوی<sup>۳</sup>

۱- کارشناس ارشد -۲- مرتبی -۳- استادیار، دانشگاه جامع امام حسین (ع)

(دریافت: ۹۳/۰۶/۱۱، پذیرش: ۹۳/۰۱/۲۰)

### چکیده

یکی از بهترین روش‌های ردگیری ماهواره‌های مدار پائین زمین (LEO)، ردگیری راداری است. از آنجا که فیلترهای خطی مرسوم، قادر به تخمین موقعیت دقیق و ردگیری سیستم‌های با دینامیک غیرخطی مثل ماهواره‌ها نیستند و ردگیری آن‌ها با خطای فراوانی همراه است، باید از فیلترهای غیرخطی استفاده نمود. در این مقاله، ابتدا مسیر حرکت ماهواره به دور زمین با استفاده از معادلات کاول تولید شده و سپس مشاهدات رادار اندازه‌گیر از این معادلات استخراج و به طور جداگانه به فیلترهای غیرخطی کالمون توسعه‌یافته (EKF) و فیلتر کالمون نمونه‌بردار (UKF) اعمال می‌شود. در نهایت با بررسی خطای RMS موقعیت و خطای تخمین، عملکرد فیلترها برای ردگیری ماهواره مورد ارزیابی قرار می‌گیرد. نتایج شبیه‌سازی نشان می‌دهد فیلتر کالمون نمونه‌بردار در مقایسه با فیلتر کالمون توسعه‌یافته دقت و عملکرد بهتری دارد.

### واژگان کلیدی

ماهواره‌های LEO، مشاهدات رادار، فیلتر کالمون توسعه‌یافته (EKF)، فیلتر کالمون نمونه‌بردار (UKF).

### ۱. مقدمه

می‌گردد و سپس سیگنال برگشتی توسط رادار دریافت می‌شود. اگرچه معمولاً از رادار این‌گونه برداشت می‌شود که سیگنالی به ماهواره بتاباند و انگاس آن را آشکارسازی کند، ولی امروزه یک ترانسپوندر<sup>۱</sup> (بازارسال‌کننده) روی ماهواره نصب می‌گردد که با یک فعالیت راداری خاص فعال می‌گردد و با این کار، رديابی ماهواره‌های خود را تسهیل کرده و دقت و فاصله رديابی را افزایش می‌دهد [۱]. لکن بايستی توجه داشت که وقتی استفاده از رادار به منظور نظارت فضایی مطرح است، اصولاً باید توانایی ارسال سیگنال‌های بسیار قوی و آشکارسازی سیگنال انعکاسی که عموماً بسیار ضعیف است را داشته باشد. در این مقاله، منظور ما از سیستم رديابی راداری همین معنای اخیر است و رادارهایی را که لزوماً همراه با یک بازارسال‌کننده نصب شده بر روی ماهواره به کار می‌روند، جزو سیستم‌های رديابی رادیویی طبقه‌بندی می‌کنیم [۲].

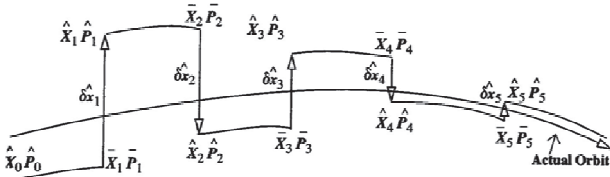
یکی از مهم‌ترین اصول پدافندی هر کشور، کشف و ردگیری انواع اهداف تهدیدکننده امنیت در حوزه‌های مختلف می‌باشد. امروزه با توسعه روزافزون علوم و فناوری‌های فضایی، بهخصوص رشد روزافزون تعداد ماهواره‌ها که نقش بسیار مهم و تعیین‌کننده‌ای در زمینه‌های مختلف مانند ارتباطات و مخابرات، سیستم‌های ناوبری، سنجش از دور، جاسوسی نظامی و تجاری، هواشناسی و ... ایفا می‌کنند، اهمیت کشف، شناسایی و ردگیری ماهواره‌ها برای ما دوچندان می‌شود.

ابتداًی ترین فن رديابی در ناوبری و نظارت فضایی، روش رديابی راداری است که از همان ابتدای عصر فضا برای تعیین مدار ماهواره‌ها به ویژه در مدارهای ارتفاع پایین به کار رفته است. در ساده‌ترین شکل، از یک ایستگاه راداری، سیگنالی به سوی هدف ارسال می‌شود که این سیگنال توسط هدف منعکس شده و یا توسط آن بازارسال

<sup>۱</sup> Transponder

\* رایانمه نویسنده پاسخگو: krhajimd@ihu.ac.ir

پس از تخمین موقعیت ماهواره و ایجاد مسیر تخمین‌زده شده<sup>۵</sup>، باید اختلاف مسیر تخمینی با مسیر واقعی در طول چند مشاهده به حداقل رسانده شود که این مسئله فرآیند تصحیح<sup>۶</sup> نامیده می‌شود و در شکل ۲ قابل مشاهده است. مطابق شکل، اختلاف بین نقاط پیش‌بینی<sup>۷</sup>  $(\bar{X}_n \bar{P}_n)$  و نقاط تخمینی<sup>۸</sup>  $(\hat{X}_n \hat{P}_n)$  که  $\delta \hat{x}$  است، باید در طی چند مرحله محدود حداقل شود [۳].



شکل ۲. نمایی از فرآیند تصحیح

## ۲. مدل‌سازی مسیر حرکت ماهواره

بر طبق قاعده اصلی قانون حرکات نجومی کپلر، اگر جرم ماهواره در مقابل جرم زمین ناچیز باشد و زمین کروی فرض شود، آنگاه طبق قانون جاذبه نیوتون، شتاب ماهواره ( $\ddot{r}$ ) از رابطه زیر محاسبه می‌شود:

$$\ddot{r} = -\left(\frac{\mu}{r^3}\right)r + a_p \quad (1)$$

این معادله (معادله کاول<sup>۹</sup>) ساده‌ترین و طبیعی‌ترین انتشارگر مداری عددی برای حرکت یک ماهواره است. که در آن،  $r$  بردار مکان ماهواره و  $\ddot{r}$  اندازه آن است.  $\mu$  ثابت گرانشی جسم مرکزی و  $a_p$  شتاب اختلالی کل است که برابر است با [۵]:

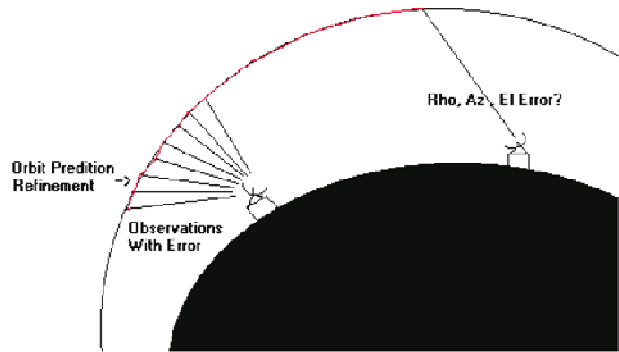
$$a_p = \nabla R(r, t) + F(r, \dot{r}, t) \quad (2)$$

که در آن،  $R(r, t)$  پتانسیل اسکالاری است که گرادیان آن با شتاب ناشی از نیروهای اختلالی پایا<sup>۱۰</sup> (همان نیروهای گرانشی در حوزه مکانیک سماوی) برابر است و  $F(r, \dot{r}, t)$  نیز شتاب ناشی از نیروهای غیرپایا (نیروهای غیرگرانشی) را نمایش می‌دهد.

معادله حرکت کاول شامل سه معادله اسکالار مرتبه دوم است که مستقیماً با انتگرال گیری عددی برای محاسبه بردارهای  $r$  و  $\dot{r}$  به کار می‌رود.تابع پتانسیل گرانشی با معادله زیر تقریب زده می‌شود [۵]:

$$U = \frac{\mu}{r} [U_0 + U_{J_2}] = \frac{\mu}{r} \left[ -1 + \left( \frac{R_e}{r} \right)^2 J_2 \frac{1}{2} [3 \sin^2(\phi) - 1] \right] \quad (3)$$

که در آن،  $\phi$  عرض جغرافیایی،  $\mu$  پارامتر جاذبه‌ای زمین،  $R_e$  شعاع متوسط زمین در استوا و  $U_{J_2}$  و  $U_0$  مطابق رابطه (۴) می‌باشند:



شکل ۱. نمایی از ردگیری راداری ماهواره [۳]

شکل ۱ نمایی از ردگیری راداری ماهواره را نشان می‌دهد.

از وظایف مهم واحد پردازش داده در رادار، تخمین پارامترهای حرکتی هدف نظری موقعیت، سرعت و شتاب با استفاده از اندازه‌گیری‌های انجام‌شده مانند برده، زاویه سمت، زاویه ارتفاع و داپلر هدف است. یکی از روش‌هایی که برای تخمین مسیر حرکت هدف به کار می‌رود استفاده از الگوریتم‌های بازگشتی است. این روش‌ها به دلیل داشتن قابلیت تخمین مسیر هدف پس از هر بار اندازه‌گیری از جذابیت بسیار بالایی برخوردار هستند. از آنجا که اکثر فیلترهای ردگیری مرسوم که در حال حاضر در رادارها (در داخل کشور) مورد استفاده قرار می‌گیرند جزو فیلترهای خطی هستند و این فیلترها برای ردگیری ماهواره‌ها که معادلات غیرخطی دارند، مناسب نمی‌باشند و با خطای تخمین زیادی روبرو می‌شوند [۴]. اهمیت ردگیری ماهواره‌ها با فیلترهای غیرخطی بیشتر نمایان می‌شود.

فیلتر کالممن توسعه‌یافته<sup>۱</sup> (EKF) و فیلتر کالممن نمونه‌بردار (UKF) از جمله فیلترهای غیرخطی با الگوریتم بازگشتی هستند که ما در اینجا برای ردگیری ماهواره‌های<sup>۲</sup> LEO مورد استفاده قرار می‌دهیم. در این مقاله، ابتدا مسیر حرکتی ماهواره‌های LEO با در نظر گرفتن اختشاشات مختلف مدل‌سازی شده و به عنوان مدار واقعی<sup>۳</sup> و یا مسیر مرجع در نظر گرفته می‌شود. سپس با توجه به مشاهدات رادار و داده‌های اندازه‌گیری شده از آن و همچنین با استفاده از دو فیلتر غیرخطی کالممن توسعه‌یافته (EKF) و کالممن نمونه‌بردار (UKF) مسیر حرکت ماهواره تخمین زده می‌شود. اگر چه فیلترهای غیرخطی دیگری از خانواده فیلتر کالممن برای ردگیری اهداف توسعه یافته‌اند، اما به دلیل پایه‌ای بودن این دو فیلتر و استفاده فراوان از آن‌ها در ردگیری اهداف غیرخطی، در این مقاله از این فیلترها استفاده می‌کنیم.

<sup>5</sup> Estimated Trajectory

<sup>6</sup> Correction Process

<sup>7</sup> Prediction

<sup>8</sup> Estimation

<sup>9</sup> Cowell

<sup>10</sup> Conservative

<sup>1</sup> Extended Kalman Filter

<sup>2</sup> Unscented Kalman Filter

<sup>3</sup> Low Earth Orbit

<sup>4</sup> Actual Orbit

$$\frac{d}{dt} \begin{bmatrix} x \\ y \\ z \\ v_x \\ v_y \\ v_z \end{bmatrix} = \begin{bmatrix} v_x \\ v_y \\ v_z \\ a_x \\ a_y \\ a_z \end{bmatrix} + \begin{bmatrix} 0 \\ 0 \\ 0 \\ w_x \\ w_y \\ w_z \end{bmatrix} \quad (7)$$

در رابطه فوق،  $v_x$ ,  $v_y$  و  $v_z$  مؤلفه‌های بردار سرعت ماهواره در دستگاه اینرسی و  $w_x$ ,  $w_y$  و  $w_z$  نیز مؤلفه‌های شتاب اعمالی به ماهواره ناشی از سایر عوامل هستند.

### ۳. معادلات اندازه‌گیری رادار

از آنجایی که رادار موقعیت هدف را در سیستم مختصات ENU<sup>y</sup> اندازه‌گیری می‌کند، بهمنظور ردگیری و فیلتر کردن در سیستم مختصات ECEF باستی روابط بین سیستم‌های مختصات ECEF و ENU محاسبه شود. با توجه به اینکه سیستم ENU به مرکزیت موقعیت رادار می‌باشد، لذا مختصات مبدأ سیستم ENU (یعنی مکان رادار) در سیستم ECEF با رابطه (۸) تعیین می‌شود[۶]:

$$\mathbf{o}_{ENU}^{ECEF} = \begin{bmatrix} (R_e + h_s) \cos(\phi) \cos(\lambda) \\ (R_e + h_s) \cos(\phi) \sin(\lambda) \\ (R_e + h_s) \sin(\phi) \end{bmatrix} \quad (8)$$

که در آن،  $\phi, \lambda$  و  $h_s$  به ترتیب طول جغرافیایی، عرض جغرافیایی و ارتفاع محل رادار و  $R_e = 6378.173 km$  شعاع زمین می‌باشند. به علاوه، ماتریس چرخش از سیستم ECEF به صورت رابطه (۹) بیان می‌شود:

$$\mathbf{M}(\phi, \lambda) = \begin{bmatrix} -\sin(\lambda) & \cos(\lambda) & 0 \\ -\cos(\lambda) \sin(\phi) & -\sin(\phi) \sin(\lambda) & \cos(\phi) \\ \cos(\lambda) \cos(\phi) & \cos(\phi) \sin(\lambda) & \sin(\phi) \end{bmatrix} \quad (9)$$

بنابراین، تبدیل بردارها بین دو سیستم به صورت زیر می‌باشد:

$$\mathbf{p}_s = \mathbf{M}(\phi, \lambda) \left[ \mathbf{p} - \mathbf{o}_{ENU}^{ECEF} \right] \quad (10)$$

که  $\mathbf{p} = [x, y, z]^T$  و  $\mathbf{p}_s = [x_s, y_s, z_s]^T$  به ترتیب بردارهای مکان در سیستم‌های مختصات ECEF و ENU هستند[۶]. با تبدیل  $\mathbf{P}_s$  به مختصات قطبی، روابط مربوط به برد  $r$ ، زاویه سمت  $\theta$  و زاویه ارتفاع  $\phi$  به صورت زیر خواهد بود[۷]:

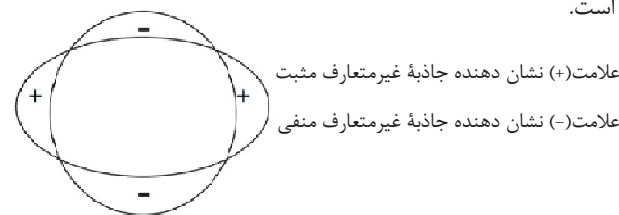
$$r(k) = \sqrt{(x - x_i)^2 + (y - y_i)^2 + (z - z_i)^2} \quad (11)$$

$$\theta(k) = \tan^{-1} \left( \frac{y - y_i}{x - x_i} \right) \quad (12)$$

<sup>2</sup> Earth Centered (Earth) Fixed

$$U_0 = -\mu/r, U_{J_2} = (\mu/r) \left[ (R_e/r)^2 J_2 \cdot 1/2 [3 \sin^2(\phi) - 1] \right] \quad (4)$$

یکی از مهم‌ترین نیروهای اختلالی موثر در حرکت مداری، ضریب پهنه‌شدنگی در قطبین زمین<sup>۱</sup> ( $J_2$ ) می‌باشد.  $J_2$  هارمونیک مداری دوم مدار یک ماهواره است. از نظر پتانسیلی، زمین می‌تواند با هارمونیک  $J_2$  به عنوان یک مدل چرخشی بیضوی به طور دقیق مدل شود. شکل زیر، اثر  $J_2$  در صفحه هم‌پتانسیل زمین را برای جاذبه غیرمتعارف مثبت و منفی نشان می‌دهد. شعاع قطبی زمین بیضوی حدود ۲۰ کیلومتر کوچک‌تر از شعاع استوایی است. این اثر عمدتاً ناشی از جنبش مرکز جرم خط استوا به دلیل نیروی مایل به مرکز ناشی از چرخش زمین است[۱]. لازم به ذکر است در این مقاله، مقدار  $J_2$  برابر  $1082.626925638815 \times 10^{-6}$  در نظر گرفته شده است.



علامت (+) نشان دهنده جاذبه غیرمتعارف مثبت  
علامت (-) نشان دهنده جاذبه غیرمتعارف منفی

در معادله (۳)، تابع پتانسیل اختلال فقط به ارتفاع ماهواره از صفحه استوایی زمین بستگی دارد. طبق سیستم مختصات اینرسی،  $\phi$  از رابطه زیر به دست می‌آید:

$$\sin(\phi) = \frac{z}{r} = \frac{z}{\sqrt{x^2 + y^2 + z^2}} \quad (5)$$

در رابطه فوق  $x$ ,  $y$  و  $z$  مؤلفه‌های بردار موقعیت ماهواره در دستگاه اینرسی هستند. با در نظر گرفتن تابع  $\sin(\phi)$  در تابع پتانسیل گرانش زمین، میزان شتاب‌های اعمالی در راستای  $x$ ,  $y$  و  $z$  مطابق معادلات زیر خواهد شد.

$$\begin{aligned} F_x &= -\frac{\partial U}{\partial x} = \mu \left[ -\frac{x}{r^3} + A_{J_2} \left( 15 \frac{xz^2}{r^7} - 3 \frac{x}{r^5} \right) \right] \\ F_y &= -\frac{\partial U}{\partial y} = \mu \left[ -\frac{y}{r^3} + A_{J_2} \left( 15 \frac{yz^2}{r^7} - 3 \frac{y}{r^5} \right) \right] \\ F_z &= -\frac{\partial U}{\partial z} = \mu \left[ -\frac{z}{r^3} + A_{J_2} \left( 15 \frac{z^3}{r^7} - 9 \frac{z}{r^5} \right) \right] \end{aligned} \quad (6)$$

که در آن،  $A_{J_2} = 1/2 J_2 R_e^2$  است. بر این اساس، معادلات حرکت مداری ماهواره به صورت رابطه (۷) حاصل می‌شوند[۷]:

<sup>1</sup> Oblate Earth Coefficient

فرض شده است، که  $w$  نویز فرایند با کواریانس  $Q$  و  $v$  نویز اندازه‌گیری با کواریانس  $R$  مطابق رابطه (۱۸) هستند:

$$Q = 2\sigma_m^2 \tau_m \begin{bmatrix} T^3/3 & T^2/2 & 0 & 0 & 0 & 0 \\ T^2/2 & T & 0 & 0 & 0 & 0 \\ 0 & 0 & 0 & 0 & 0 & 0 \\ 0 & 0 & 0 & 0 & 0 & 0 \\ 0 & 0 & 0 & 0 & 0 & 0 \\ 0 & 0 & 0 & 0 & 0 & 0 \end{bmatrix}, R = \begin{bmatrix} \sigma_r^2 & 0 & 0 \\ 0 & \sigma_\phi^2 & 0 \\ 0 & 0 & \sigma_\theta^2 \end{bmatrix} \quad (۱۸)$$

که در آن،  $\sigma_m, \tau_m$  ثابت زمانی مانور هدف با انحراف استاندارد هستند. همچنین روابط (۱۹) معادلات پیش‌بینی و روابط (۲۰) معادلات تخمین فیلتر غیرخطی EKF را نشان می‌دهد [۱].

$$\hat{x}(k|k-1) = f(\hat{x}(k-1|k-1)) \quad (۱۹)$$

$$P(k|k-1) = F_{k-1} P(k-1|k-1) F_{k-1}^T + Q_{k-1}$$

$$\begin{aligned} B_k &= y(k) - h(\hat{x}(k|k-1)) \\ S_k &= H_k P(k|k-1) H_k^T + R \\ K(k) &= P(k|k-1) H_k^T S_k^{-1} \end{aligned} \quad (۲۰)$$

$\hat{x}(k|k) = \hat{x}(k|k-1) + K(k)B_k$   
 $P(k|k) = P(k|k-1) - K(k)S_k K^T(k)$

که در دو رابطه فوق،  $\hat{x}(k|k-1)$  پیش‌بینی برای مرحله  $k$ ام و  $P(k|k-1)$  ماتریس کواریانس خطای پیش‌بینی،  $K(k)$  بهره فیلتر در لحظه  $k$ ام،  $H_k$  تخمین در مرحله  $k$ ام و  $R$  ماتریس کواریانس خطای تخمین می‌باشد.  $F_k$  و  $H_k$  نیز به ترتیب ماتریس راکوبین‌های  $f(\cdot)$  و  $h(\cdot)$  هستند که با استفاده از رابطه (۲۱) محاسبه شده‌اند. در این رابطه  $x$  مؤلفه زام بردار حالت  $x$  می‌باشد.

$$[F_k]_{i,j} = \frac{\partial f_i(x)}{\partial x_j} \Bigg|_{x=\hat{x}(k|k)}, \quad [H_k]_{i,j} = \frac{\partial h_i(x)}{\partial x_j} \Bigg|_{x=\hat{x}(k|k-1)} \quad (۲۱)$$

## ۵. فیلتر کالمون نمونه‌بردار (UKF)

اگرچه فیلتر EKF بطور موفقیت‌آمیزی در بسیاری از کاربردها مورد استفاده قرار گرفت، اما چندین عیب و کمبود داشت. فیلتر EKF با تقریب توزیع حالت یک متغیر تصادفی گوسی<sup>۱</sup> (GRV) کار می‌کند و در خطی‌سازی مرتبه اول سیستم غیرخطی گسترش می‌یابد. در یکی از روش‌هایی که برای بهبود EKF ارائه شد، همگرایی فیلتر مرتبه اول با تکرار کردن در مرحله بروز رسانی اندازه‌گیری، انجام می‌شود. این فیلترهای کالمون توسعه‌یافته تکرارشده<sup>۲</sup> (IEKF) اثر نویز اندازه‌گیری را کاهش می‌دهند [۹].

$$\varphi(k) = \tan^{-1} \left( \frac{z - z_i}{\sqrt{(x - x_i)^2 + (y - y_i)^2}} \right) \quad (۱۳)$$

که در آن،  $x, y, z$  و  $x_i, y_i, z_i$  مختصات رادار مورد نظر و  $k$  اندیس زمان می‌باشد. معادله اندازه‌گیری نیز به شکل زیر بیان می‌شود:

$$y(k) = [r(k) \ \theta(k) \ \varphi(k)]^T = h(x(k)) + v(k) \quad (۱۴)$$

که در آن،  $y(k)$  و  $x(k) = [x \ y \ z \ v_x \ v_y \ v_z]^T$  بردار خطای اندازه‌گیری می‌باشد. ماتریس ژاکوبین معادله اندازه‌گیری نیز بدین صورت است [۷]:

$$H(k) = \frac{\partial h(k)}{\partial x(k)} = \begin{bmatrix} H_{11} & H_{12} & H_{13} & 0 & 0 & 0 \\ H_{21} & H_{22} & 0 & 0 & 0 & 0 \\ H_{31} & H_{32} & H_{33} & 0 & 0 & 0 \end{bmatrix} \quad (۱۵)$$

که در آن:

$$\begin{aligned} H_{11} &= r_x(k)/r(k), \quad H_{12} = r_y(k)/r(k), \quad H_{13} = r_z(k)/r(k), \\ H_{21} &= -r_y(k)/(r_x^2(k) + r_y^2(k)), \quad H_{22} = -r_x(k)/(r_x^2(k) + r_y^2(k)), \\ H_{31} &= -r_z(k)r_x(k)/((r_x^2(k) + r_y^2(k))^{1/2} r^2), \\ H_{32} &= -r_z(k)r_y(k)/((r_x^2(k) + r_y^2(k))^{1/2} r^2), \\ H_{33} &= (r_x^2(k) + r_y^2(k))^{1/2}/r^2 \\ r_x(k) &= x(k) - x_i(k), \\ r_y(k) &= y(k) - y_i(k), \\ r_z(k) &= z(k) - z_i(k), \\ r^2(k) &= r_x^2(k) + r_y^2(k) + r_z^2(k), \end{aligned} \quad (۱۶)$$

## ۴. فیلتر کالمون توسعه‌یافته (EKF)

در توسعه فیلتر کالمون استاندارد برای حل معادلات غیرخطی می‌توان از روش EKF استفاده نمود که بر اساس بسط تیلور معادلات غیرخطی عمل می‌کند. از آنجا که اغلب در عمل رابطه بین داده‌ها و پارامترهای دینامیکی ماهواره‌ها غیرخطی است، با وجود پیچیدگی زیاد محاسباتی و پیدا نشدن جواب‌های صریح برای معادلات، برای عملکرد بهتر، از فیلتر کردن غیرخطی استفاده می‌شود. در عمل به لحاظ مقدور نبودن استفاده از روابط فیلتر غیرخطی بهینه از فیلترهای غیرخطی شببه‌بینه استفاده می‌شود. به طور کلی معادلات دینامیکی (حالت) و معادلات اندازه‌گیری (خروجی) در یک سیستم غیرخطی و در فرم گسسته به صورت روابط (۱۷) می‌باشد [۸].

$$x(k+1) = f(x(k)) + w_k, \quad y(k) = h(x(k)) + v_k \quad (۱۷)$$

که در آن،  $w$  و  $v$  فرآیندهای گوسی سفید با میانگین صفر

<sup>1</sup> Gaussian Random Variable

<sup>2</sup> Iterative Extended Kalman Filter

$$\chi_{i,k-1} = \begin{cases} \hat{x}_{k-1}, & i=0 \\ \hat{x}_{k-1} + \gamma \left( \sqrt{P_{x_{k-1}}} \right)_i, & i=0,1,\dots,L \\ \hat{x}_{k-1} - \gamma \left( \sqrt{P_{x_{k-1}}} \right)_{i-L}, & i=L+1,\dots,2L \end{cases} \quad (23)$$

که در آن،  $\gamma = \sqrt{L+\lambda}$  است و نقاط سیگما از بین سیستم غیرخطی زیر منتشر می‌شوند:

$$\chi_{i,k|k-1} = f(\chi_{i,k-1}) \quad (24)$$

همچنین متوسط پسین  $\bar{\hat{x}}_k$  و کواریانس  $P_{x_k}^-$  از نقاط سیگما از آماری انتشار یافته طبق روابط زیر تعیین می‌شوند:

$$\bar{\hat{x}}_k^- = \sum_{i=0}^{2L} W_i^m \chi_{i,k|k-1} \quad (25)$$

$$P_{x_k}^- = \sum_{i=0}^{2L} W_i^c \left( \chi_{i,k|k-1} - \bar{\hat{x}}_k^- \right) \left( \chi_{i,k|k-1} - \bar{\hat{x}}_k^- \right)^T \quad (26)$$

وزن‌های  $W_i^m$  و  $W_i^c$  هم از روابط زیر محاسبه می‌شوند:

$$W_0^m = \lambda / (L + \lambda) \quad (27)$$

$$W_0^c = [\lambda / (L + \lambda)] + 1 - \alpha^2 + \beta$$

$$W_i^c = W_i^m = 1 / 2(L + \lambda), \quad i = 1, \dots, 2L$$

که در آن،  $\lambda$  یک پارامتر مقیاس‌دهی مرکب<sup>۶</sup> و برابر  $-L(K+L)$  و  $L$  معمولاً برابر بعد حالت در نظر گرفته می‌شود (در این مقاله  $L=6$  در نظر گرفته شده است). ثابت  $\alpha$  گستره ن نقاط سیگما اطراف  $\bar{\hat{x}}$  را تعیین می‌کند و معمولاً با یک مقدار مثبت کوچک مقدار دهی می‌شود ( $1 \leq \alpha \leq 10^{-4}$ ). همچنین  $\beta$  برای یکی کردن اطلاعات قبلی توزیع  $x$  استفاده می‌شود (برای توزیع گوسی،  $\beta=2$  بهینه است) و ثابت  $K$  یک پارامتر مقیاس‌دهی درجه دوم است که معمولاً با صفر یا  $3-L$  مقدار دهی می‌شود.

عناصر ماتریس اندازه‌گیری تخمینی  $\Upsilon_{i,k|k-1}$ ، نیز با نقاط سیگما تبدیل شده با استفاده از مدل اندازه‌گیری غیرخطی زیر محاسبه می‌شود:

$$\Upsilon_{i,k|k-1} = h(\chi_{i,k|k-1}) \quad (28)$$

متوسط اندازه‌گیری  $\hat{y}_k^-$  و کواریانس اندازه‌گیری  $P_{y_k y_k}$  بر پایه نقاط سیگما از آماری تبدیل شده به دست می‌آید:

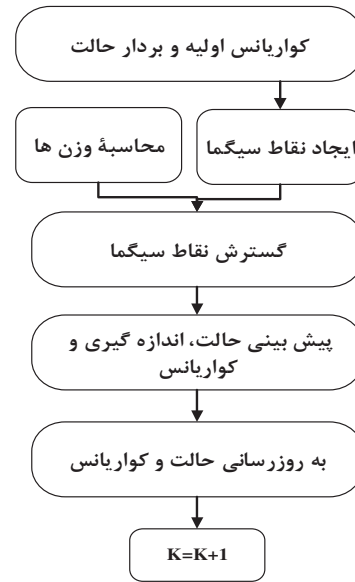
$$\hat{y}_k^- = \sum_{i=0}^{2L} W_i^m \Upsilon_{i,k|k-1} \quad (29)$$

$$P_{y_k y_k} = \sum_{i=0}^{2L} W_i^c \left( \Upsilon_{i,k|k-1} - \hat{y}_k^- \right) \left( \Upsilon_{i,k|k-1} - \hat{y}_k^- \right)^T + R \quad (30)$$

<sup>6</sup> composite scaling parameter

<sup>7</sup> secondary scaling parameter

فیلتر کالمن نمونه‌بردار، توسط جولیر<sup>۱</sup>، اهلمن<sup>۲</sup> و دورانت وايت<sup>۳</sup> بین سال‌های ۲۰۰۰ تا ۲۰۰۴ پیشنهاد و توسعه داده شد<sup>[۱۰]</sup>، که دارای تخمین بهتری نسبت به EKF می‌باشد. UKF یک بسط سنتی فیلتر کالمن برای تخمین سیستم‌های غیرخطی است که تبدیل نمونه‌بردار<sup>۴</sup> (UT) را پیاده‌سازی می‌کند. تبدیل نمونه‌بردار از مجموعه‌های از نمونه‌ها یا بردارهای سیگما<sup>۵</sup> که از یک متوسط و کواریانس پیشین حالت، تعیین شده است استفاده می‌کند. این روش، مشخصات همگرایی بهتری داشته و دقت بیشتری از برای سیستم‌های غیرخطی می‌دهد. برای آشنایی بیشتر با تبدیل نمونه‌بردار، به مراجعه<sup>[۹]</sup> مراجعه شود. اگر بخواهیم الگوریتم فیلتر کالمن نمونه‌بردار برای تخمین اهداف را بیان کنیم، روند نمای شکل ۳ به خوبی بیانگر این مطلب است<sup>[۱۱]</sup>.



شکل ۳. روند نمای فرآیند UKF

#### ۱-۵. معادلات فیلتر UKF

مقدار دهی اولیه این فیلتر با متوسط و کواریانس حالت پیش‌بینی شده زیر صورت می‌گیرد<sup>[۱۲]</sup>:

$$\begin{aligned} \hat{x}_0 &= E[x_0] \\ P_{x_0} &= E[(x_0 - \hat{x}_0)(x_0 - \hat{x}_0)^T] \end{aligned} \quad (22)$$

نقاط سیگما از متوسط و کواریانس حالت پیشین طبق رابطه<sup>(۲۳)</sup> محاسبه می‌شوند:

<sup>1</sup> Julier

<sup>2</sup> Uhlman

<sup>3</sup> Durrant-Whyte

<sup>4</sup> Unscented Transform

<sup>5</sup> Sigma vectors

جدول ۱. پارامترهای مداری ماهواره CHAMP

ردیف	مدار	نام پارامتر
۱	6739.137 Km	Semi-major axis (a)
۲	0.00033	Eccentricity (e)
۳	87.2346 °	Inclination (i)
۴	303.3713 °	Right ascension of ascending node (Ω)
۵	81.5653 °	Argument of apogee (ω)
۶	80 °	Initial Mean Anomaly (M)

ارتفاع ۳۶۰ کیلومتری زمین واقع شده و یک دور کامل آن به دور زمین حدود ۹۱ دقیقه طول می‌کشد. جدول ۱ پارامترهای مداری این ماهواره را نشان می‌دهد.

#### ۶-۱. معیارهای بهینگی فیلترها

در این مقاله با توجه به منبع [۱۴]، معیارهای بهینگی فیلترهای مورد نظر را می‌توان در موارد زیر خلاصه کرد: مقدار عددی خطای RMS موقعیت<sup>۱</sup> بعد از همگرایی شدن نمودار خطاط، میزان حداکثر خطای (پیک) نمودار RMS موقعیت، زمان رسیدن به همگرایی خطای RMS موقعیت و هموار بودن خطاط بعد از نقطه همگرایی.

مقدار خطای RMS موقعیت برای هر فیلتر که حاصل جمع خطای RMS در راستای x، y و z می‌باشد از رابطه زیر بدست می‌آید [۱۴]:

$$RMSE = \sqrt{\frac{1}{N} \sum_{i=1}^N \left( (x_k^i - \hat{x}_k^i)^2 + (y_k^i - \hat{y}_k^i)^2 + (z_k^i - \hat{z}_k^i)^2 \right)} \quad (35)$$

که در آن، N تعداد مرتبه تکرار مونت کارلو<sup>۲</sup>،  $x_k^i$ ،  $y_k^i$  و  $z_k^i$  مسیر واقعی هدف برای زمان k در آمین مرتبه تکرار و  $\hat{x}_k^i$ ،  $\hat{y}_k^i$  و  $\hat{z}_k^i$  موقعیت تخمینی هدف در هر لحظه می‌باشد. در این مقاله فاصله زمانی بین مشاهدات رادار  $\Delta T = 0.1\text{sec}$ ، تعداد تکرار فرآیند ردگیری برابر ۱۰۰ مرتبه مونت کارلو (RUN=100)، احتمال آشکارسازی ( $P_d$ ) برابر ۰/۹۵، مدت زمان حضور ماهواره در دید رادار ۷ دقیقه (۴۲۰ ثانیه) و زاویه دید رادار ۱۷۰ درجه است. همچنین نویز اندازه‌گیری که می‌تواند به عنوان نویز سفید گوسی با میانگین صفر و ماتریس کواریانس رابطه (۱۸) مدل شود، با انحراف معیارهای مقادیر کواریانس رابطه (۱۸) مدل شود، با انحراف معیارهای مقادیر

است. لازم به ذکر است شرایط اولیه موقعیت، از روی اندازه‌گیری رادار در اسکن اول به دست آمده است.

پس از انتخاب مقادیر اولیه مناسب برای پارامترهای مورد نیاز، به

<sup>۱</sup> RMSE Position

<sup>۲</sup> Monte Carlo

کواریانس همبستگی متقابل  $\mathbf{P}_{\mathbf{x}_k \mathbf{y}_k}$  به صورت زیر محاسبه می‌شود:

$$\mathbf{P}_{\mathbf{x}_k \mathbf{y}_k} = \sum_{i=0}^{2L} \mathbf{W}_i^C \left( \mathbf{x}_{i,k} |_{k-1} - \hat{\mathbf{x}}_k^- \right) \left( \mathbf{y}_{i,k} |_{k-1} - \hat{\mathbf{y}}_k^- \right)^T \quad (31)$$

ماتریس بهره کالمون از همبستگی متقابل و کواریانس اندازه‌گیری زیر، تقریب زده می‌شود:

$$\mathbf{K}_k = \mathbf{P}_{\mathbf{x}_k \mathbf{y}_k} \mathbf{P}_{\mathbf{y}_k \mathbf{y}_k}^{-1} \quad (32)$$

همچنین معادلات بهروزرسانی اندازه‌گیری، استفاده شده برای تعیین متوسط  $\hat{\mathbf{x}}_k^-$  و کواریانس  $\mathbf{P}_{\mathbf{x}_k \mathbf{y}_k}^-$  بدین صورت هستند:

$$\hat{\mathbf{x}}_k^- = \hat{\mathbf{x}}_k^+ + \mathbf{K}_k (\mathbf{y}_k - \hat{\mathbf{y}}_k^-) \quad (33)$$

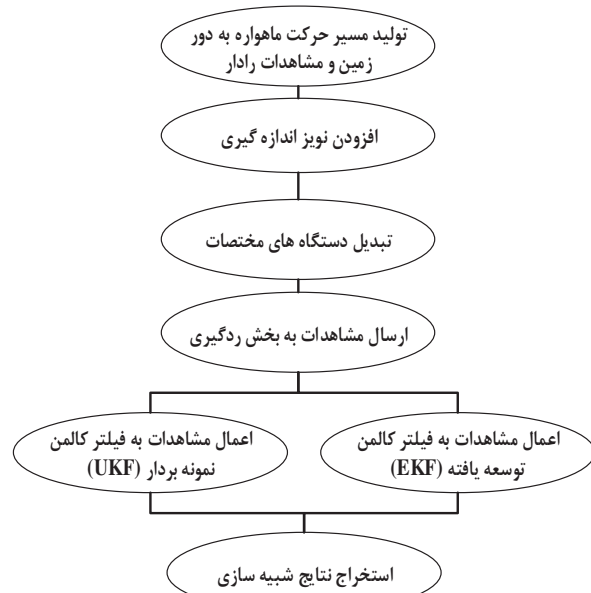
$$\mathbf{P}_k^- = \mathbf{P}_k^+ - \mathbf{K}_k \mathbf{P}_{\mathbf{y}_k \mathbf{y}_k} \mathbf{K}_k^T \quad (34)$$

برای جزئیات بیشتر، منابع [۹۶ و ۱۲] را ملاحظه کنید.

#### ۶. نتایج شبیه‌سازی

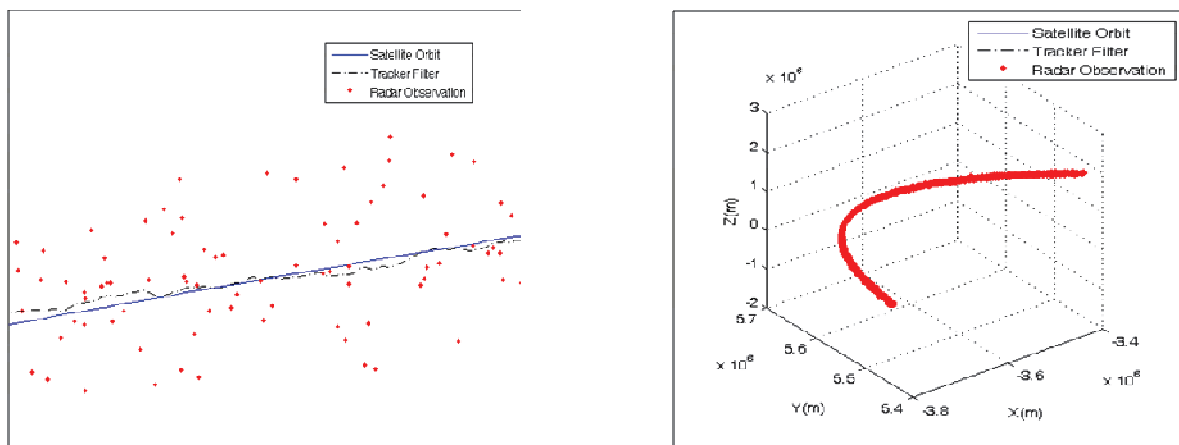
شبیه‌سازی در این مقاله از سه بخش اصلی تشکیل شده است:

- ۱- قسمت مدل‌سازی مسیر حرکت ماهواره، -۲- قسمت تولید مشاهدات رادار و -۳- قسمت فرآیند ردگیری و فیلترینگ. شکل ۴ بلوك دیاگرام فرآیند تولید مسیر حرکت ماهواره و ردگیری آن را نشان می‌دهد.



شکل ۴. بلوك دیاگرام فرآیند تولید مسیر حرکت ماهواره و ردگیری آن

برای مدل‌سازی مسیر حرکت ماهواره با استفاده از روش کاول، به مقادیر عناصر کلاسیک مداری نیاز است که در این مقاله از عناصر مداری ماهواره CHAMP استفاده شده است [۱۳]. این ماهواره در

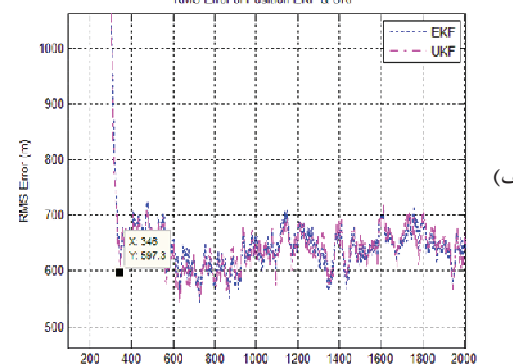
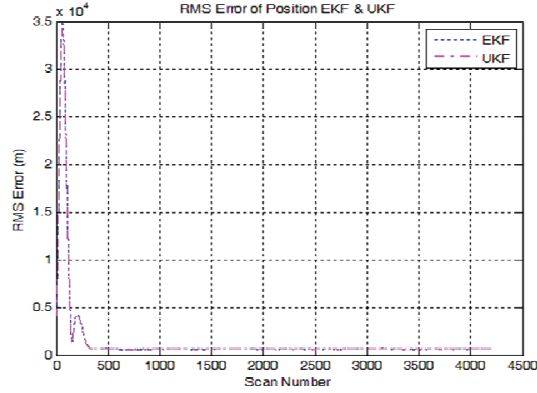


شکل ۵. مسیر حرکت ماهواره به همراه مشاهدات رادار و تخمین توسط فیلتر (سمت راست: تصویر با دید کلی، سمت چپ: تصویر با دید نزدیک‌تر)

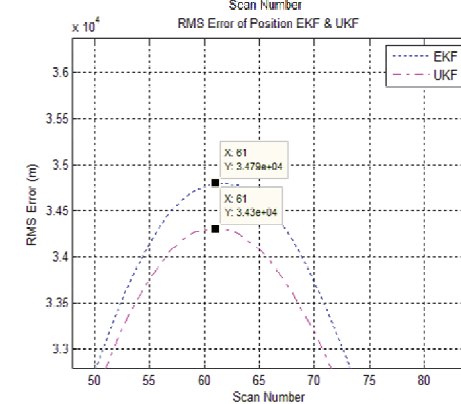
رسم نمودارهای خطاب برای فیلترهای EKF و UKF می‌پردازیم. ابتدا در شکل ۵ مسیر حرکتی ماهواره به همراه مشاهدات رادار و فیلتر مورد نظر را به دو صورت دید کلی و تصویر از دید نزدیک‌تر مشاهده می‌کنیم. در این شکل خط ممتد، مدار حرکت ماهواره، خطچین‌ها فیلتر ردگیر و نقاط دایره، مشاهدات رادار را نشان می‌دهد.

خطای RMS موقعیت برای فیلترهای EKF و UKF، تصویر زوم شده نمودار آن پس از رسیدن به همگرایی و در نقطه حداکثر خطای نمودار در شکل ۶ مشاهده می‌شود. در این تصاویر، خطای RMS موقعیت برحسب متر و فاصله بین هر اسکن برابر  $10^4$  ثانیه می‌باشد. در ضمن خطوط نقطه‌چین نشانگر فیلتر EKF و خطوط نقطه خطچین نشانگر فیلتر UKF است. مطابق شکل، حداکثر خطای نمودار RMS موقعیت برای فیلتر EKF برابر  $34790$  متر و برای فیلتر UKF برابر  $34300$  متر، زمان رسیدن به همگرایی هم برای هر دو فیلتر حدود  $33$  ثانیه و مقدار خطاب بعد از همگرایی حدود  $645$  متر است.

در شکل ۷ خطای مشاهدات و اندازه‌گیری‌های رادار در دستگاه مختصات کروی دیده می‌شود. ضمن اینکه مقایسه خطای RMS موقعیت و مشاهدات در این شکل آورده شده است. همان‌طور که در شکل سمت راست دیده می‌شود، خطای که فیلترها تخمین می‌زنند نسبت به خطای مشاهدات و اندازه‌گیری‌های رادار بسیار کم می‌شود به نحوی که خطای مشاهدات رادار که در حدود  $4000$  متر است، توسط فیلترها به حدود  $650$  متر کاهش می‌یابد. همچنین در شکل‌های ۸ و ۹، به ترتیب خطای تخمین موقعیت ماهواره در دو دستگاه مختصات کروی (در راستای  $x$ ,  $y$  و  $z$ ) و دستگاه مختصات کارتزین (در راستای  $R$ ,  $\theta$ ,  $\varphi$ ) مشاهده می‌شود.

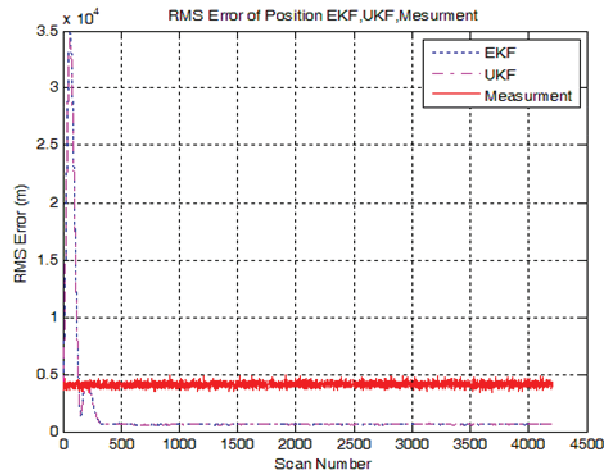
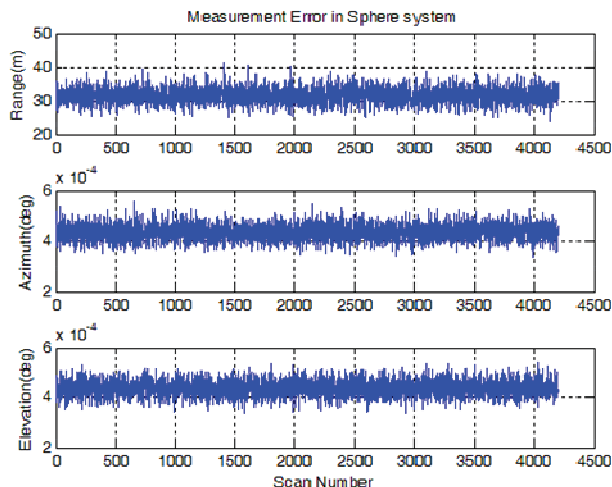


(الف)

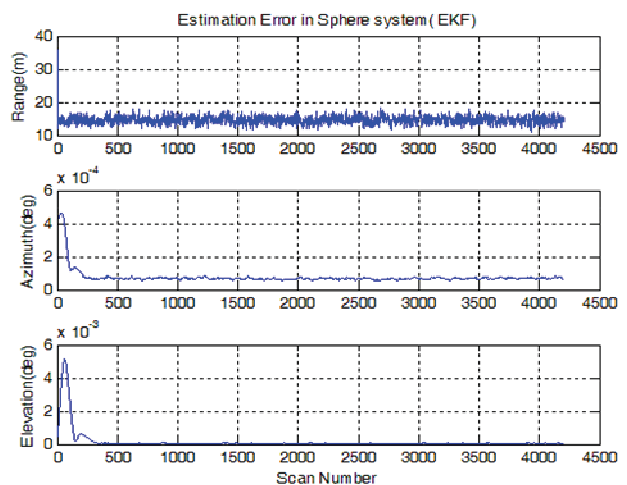
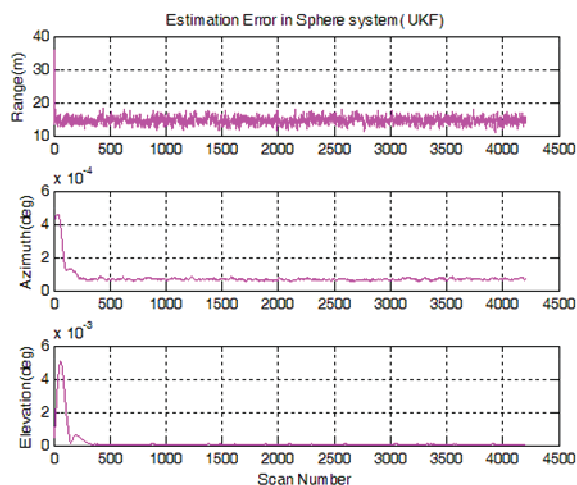


(ب)

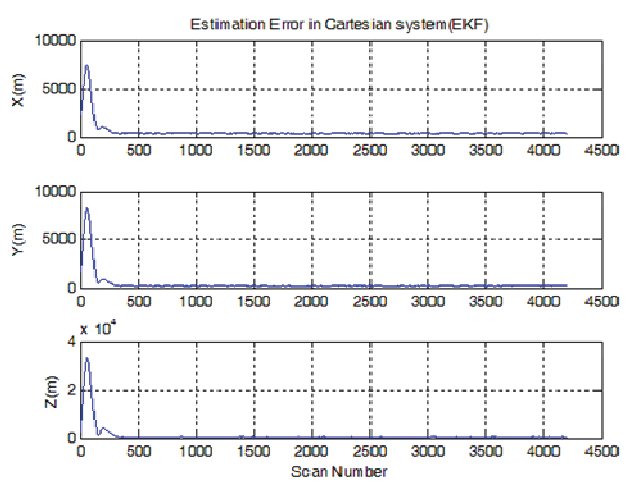
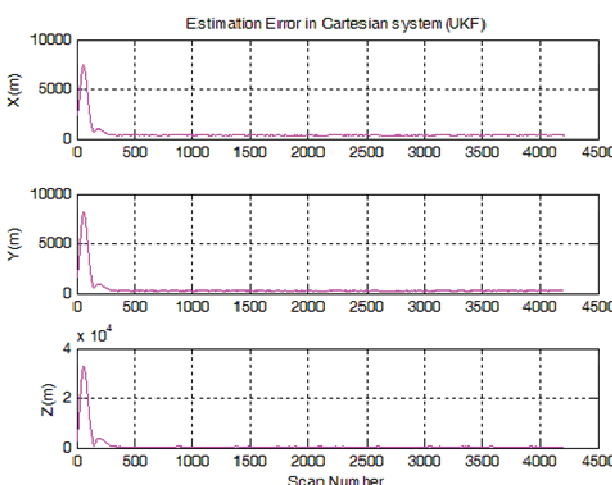
شکل ۶. مقایسه خطای RMS موقعیت فیلترهای EKF و UKF (تصویر با دید نزدیک‌تر: شکل (الف): پس از رسیدن به همگرایی. شکل (ب): نقطه حداکثر خطاب)



شکل ۷. سمت راست: مقایسه خطای RMS موقعیت و مشاهدات رادار، سمت چپ: خطای مشاهدات رادار در دستگاه مختصات کروی



شکل ۸. خطای تخمین موقعیت ماهواره در دستگاه مختصات کروی (سمت راست: فیلتر EKF، سمت چپ: فیلتر UKF)



شکل ۹. خطای تخمین موقعیت ماهواره در دستگاه مختصات دکارتی (سمت راست: فیلتر EKF، سمت چپ: فیلتر UKF)

جدول ۲. مقایسه خطای فیلترهای EKF و UKF در دستگاه دکارتی

فیلتر UKF				فیلتر EKF			نوع فیلتر
بازه ناهمواری(متر)	زمان همگرایی (ثانیه)	حداکثر خطأ (متر)	بازه ناهمواری (متر)	زمان همگرایی (ثانیه)	حداکثر خطأ (متر)	حداکثر خطأ (متر)	حداکثر خطأ (متر)
۷۰۰ تا ۶۰۰	۳۳	۳۴۷۰۰	۷۰۰ تا ۶۰۰	۳۳	۳۵۲۰۰	RMSE	خطای موقعیت
۴۲۰ تا ۲۸۰	۲۹	۷۵۰۰	۴۵۰ تا ۳۰۰	۲۹	۷۶۰۰	(X)	خطای تخمین
۲۹۵ تا ۱۹۰	۳۳	۸۲۰۰	۳۰۰ تا ۲۰۰	۳۲	۸۳۰۰	(Y)	خطای تخمین
۴۹۰ تا ۳۴۰	۳۳	۳۲۹۰۰	۵۰۰ تا ۳۵۰	۳۲	۳۳۴۰۰	(Z)	خطای تخمین
۶۴۳ متر				۶۴۵ متر		RMSE عددی	

(محاسبات مشتق‌گیری) برای معادلات دینامیک و معادلات اندازه‌گیری نیاز می‌باشد که این محاسبات در فیلتر UKF حذف شده است. در نتیجه، در صورتی که معادلات ورودی به فیلتر EKF پیچیده باشد، تخمین این فیلتر با صرف زمان و دقت زیاد همراه می‌شود. از آنجا که معادلات اندازه‌گیری و دینامیک مورد استفاده در این مقاله از پیچیدگی بالایی برخوردار نمی‌باشند، لذا محاسبات ژاکوبین فیلتر EKF نسبتاً ساده می‌باشد و در مقابل، به دلیل حجم محاسباتی بالاتر فیلتر UKF، محاسبات پیچیده‌تری نسبت به فیلتر EKF به وجود می‌آید.

جدول ۳. مقایسه خطای فیلترهای UKF و EKF و مشاهدات رادار در مسیر تولیدی با متلب

خطای تخمین UKF	خطای تخمین EKF	مشاهدات رادار	RMSE
۱۴/۵۸ متر	۱۴/۵۹ متر	۳۱/۵۲ متر	برد $\rho$ (متر)
۰/۰۶۷ میلی‌رادیان	۰/۰۶۸ میلی‌رادیان	۰/۴۳۵ میلی‌رادیان	زاویه سمت $\theta$ (میلی‌رادیان)
۰/۰۶۹ میلی‌رادیان	۰/۰۶۷ میلی‌رادیان	۰/۴۳۴ میلی‌رادیان	زاویه ارتفاع $\varphi$ (میلی‌رادیان)

در جدول ۲ مقایسه‌ای میان RMS خطای موقعیت و خطای تخمین در دستگاه دکارتی و مقدار RMSE بعد از رسیدن به همگرایی EKF و UKF آورده شده است. همچنین مقایسه خطای تخمین و مشاهدات رادار در دستگاه مختصات کروی در جدول ۳ بیان شده است. همان‌طور که مشاهده می‌شود، در تمامی حالات، خطای فیلتر UKF از فیلتر EKF کمتر است.

## ۷. نتیجه‌گیری

از آن‌جا که فیلترهای خطی مرسوم قادر به ردگیری دقیق اهداف با دینامیک حرکتی غیرخطی (مانند ماهواره‌ها) نیستند، در این مقاله برای ردگیری ماهواره‌های مدار پایین‌زمین از فیلترهای غیرخطی EKF و UKF استفاده کردیم. نتایج شبیه‌سازی نشان دهد که با وجود نزدیک بودن رفتار دو فیلتر به یکدیگر، در تمامی بخش‌های شبیه‌سازی، فیلتر UKF نسبت به فیلتر EKF رفتار بهتری دارد و خطای RMS موقعیت و خطای تخمین کمتری به وجود می‌آورد.

یکی از نکات مهم در مقایسه فیلترها، بهبود خطای خطا در فیلتر مورد نظر نسبت به خطای مشاهدات می‌باشد. همان‌طور که در جدول ۳ مشاهده می‌شود، میزان خطای تخمینی در فیلترهای EKF و UKF نسبت به خطای مشاهدات (خطای خروجی نسبت به خطای ورودی به فیلتر) در راستای برد تا حدود ۵٪ و در راستای سمت تا حدود ۸٪ کاهش یافته است. همچنین اگرچه فیلتر کالمن نمونه بردار دارای حجم معادلات و محاسبات بیشتری نسبت به فیلتر کالمن توسعه یافته است، اما در فیلتر EKF محاسبه ماتریس ژاکوبین

## .۸ مراجع

- [8] J.Rohde, "Kalman filter for attitude determinationof student satellite", A master thesis of Norwegian University of Science and Technology Department of Engineering Cy-bernetics,(NTNU), July 2007.
- [9] A.Eric, W. and R. van der Merwe, "Kalman Filtering and Neural Networks, Edited by Simon Haykin", Department of Electrical and Computer Engineering, Oregon Graduate Institute of Science and Technology, ISBN: 978-0-471-36998-1, October 2001.
- [10] S. J. Julier and J. K. Uhlmann, "A New Extension of the Kalman Filter to Nonlinear Systems", in Proceedings of the SPIE AeroSense International Symposium on Aerospace/ Defense Sensing,Simulation and Controls, (Orlando, Florida), April 20–25, 1997.
- [11] M. Ilyas, J. Lim, J. Gyu Lee, C. Gook Park," Federated Unscented Kalman Filter Design for Multiple Satellites Formation Flying in LEO", International Conference on Control, Automation and Systems, Seoul, Korea, pp.453-458, Oct. 14-17, 2008.
- [12] M.C. VanDyke, J. L. Schwartz, C.D. Hall , " Unscented Kalman Filtering for spacecraft attitude state and parameter estimation ", Permission to publish granted to The American Astronautical Society, AAS-04-115, 2004
- [13] M. Forghani, M. Farrokhi"Satellite Orbit Estimation Using On-Line Neural Networks" 9th IFAC Workshop "Adaptation and learning in control and signal processing" (ALCOSP'07), Saint Petersburg, RUSSIA, August 29 -31, 2007
- [14] H. Lan, Y. Liang, W. Zhang, F. Yang, Q. Pan, "Iterated Minimum Upper Bound Filter for Tracking Orbit Maneuvering Targets", Information Fusion (FUSION), 16th International Conference (IEEE), Istanbul, pp. 1051-1057, 9-12 July 2013.
- [1] J. Salem, M. Zeighami, S.M. Alavi, " Estimation of LEO satellites position and their tracking with Extended Kalman Filter & Unscented Kalman Filter", Master thesis of imam hossein university .2014 (In Persian)
- [2] O. Montenbruck, and E. Gill, "Satellite Orbits. Models, Methods and Applications", ISBN 3-540-67280-X, Springer Verlag Berlin Heidelberg New York, 2001
- [3] P. Vergez , L . Sauter, and S. Dahlke" An Improved Kalman Filter for Satellite Orbit Predictions ". The Journal of the Astronautical Sciences, Vol. 52, No. 3, July–September 2004.
- [4] J. Salem, G. Saadatimoghadam, S.M. Alavi, " Modelling of LEO satellites trajectorie and Performance evaluation of conventional filters tracker ", Second National Conference on Radar Systems Technology, imam hossein university .2013 (In Persian)
- [5] M. J.Sidi, "Spacecraft Dynamic and Control, A Practical Engineering Approach", Cambridge aerospace series 7, ISBN 0-521-55072-6, 1997.
- [6] A. Benavoli, L. Chisci1 and A.Farina, "Tracking of a ballistic missile with a-priori information", IEEE Trans. On Aerospace and Electronic Systems, Vol. 43, No. 3, pp. 1000-1016, 2007.
- [7] W. Panlong, J. Kong, B. Yuming," Modified iterated extended Kalman particle filter for single satellite passive tracking", Turkish Journal of Electrical Engineering & Computer Sciences, pp. 120 – 130, 2013.

## **Modelling of LEO Satellites Trajectories and Their Tracking With Extended Kalman Filter (EKF) & Unscented Kalman Filter(UKF)**

**J. Salem\***, M. Zeighami , S. M. Alavi

\* Imam Hossein Comprehensive University

(Received: 09/04/2014, Accepted: 02/09/2014)

### **Abstract**

The radar tracking is one of the best LEO satellite tracking methods. While Since the tracking filters which are mostly linear, and are not able to have a precise estimation of the objects with nonlinear motion dynamics such as satellite, we should use nonlinear filters. In this paper, firstly, we deal with the problem of the LEO satellites motion path modelling according to the satellite motion emulation with the Cowell equations. Then the observations will be separately fed to non-linear Extended Kalman Filter as well as Unscented Kalman Filter and with studying the RMS position estimation error, their performance for satellite tracking will be evaluated. Simulation results demonstrate that the UKF filter has a better performance in terms of accuracy in comparison with the EKF.

**Keywords:** LEO Satellites, Radar Observation, Extended Kalman Filter (EKF), Unscented KalmanFilter(UKF)

---

\*Corresponding author E-mail: krhajimd@ihu.ac.ir